

УДК 536.244.45

ЭКСПЕРИМЕНТАЛЬНОЕ ИССЛЕДОВАНИЕ АЭРОДИНАМИКИ ЦИКЛОННОЙ ЭЛЛИПСНОЙ КАМЕРЫ

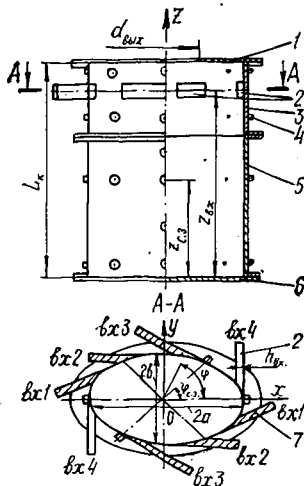
Э. Н. САБУРОВ, Ю. А. ВЛАСОВ, С. И. ОСТАШЕВ

Архангельский лесотехнический институт

Первые исследования аэродинамики и конвективного теплообмена в эллиптических циклонных камерах [1, 2] показали, что они могут быть использованы в ряде технологических процессов целлюлозно-бумажного, гидролизного и деревообрабатывающего производств.

Анализируемые в настоящей работе результаты опытов, являющиеся развитием и продолжением предыдущих, выполнены на циклонной камере, схема которой приведена на рис. 1.

Рис. 1. Схема циклонной эллипсной камеры: 1 — пережим; 2 — входной шлиц; 3 — верхняя секция камеры — закручиватель; 4 — штуцер для крепления координатника; 5 — нижняя секция камеры; 6 — дно; 7 — вкладыш



Направляющая цилиндрического рабочего объема камеры — эллипс с полуосами $a = 165$ мм и $b = 125$ мм. Коэффициент сжатия эллипса $k = b/a = 0,758$. Общая длина камеры $L_k = 512$ мм. Длина закручивателя (верхней секции) 250 мм. Поверхность рабочего объема камеры технически гладкостенная.

Газ в камеру вводили в поперечной плоскости верхней секции, имеющей осевую координату $z_{bx} = 412$ мм или в безразмерном виде $z_{bx} = z_{bx}/L_k = 0,8$. (Здесь и далее ось камеры совпадает с осью z . Координата z отсчитывается от глухого торца рабочего объема). В опытах применяли двухсторонний ввод газа. Шлицы размерами 20×80 мм (первое число — высота шлица h_{bx}) расположены симметрично относительно оси с противоположных сторон периметра эллипса по касательной к нему. Точка касания внешней поверхности входного канала и эллипса характеризуется координатами x_{bx} ($\bar{x}_{bx} = x_{bx}/a$) или углом φ_{bx} . Значения x_{bx} для четырех вариантов подвода газа соответственно равны — 0,6; 0,0; 0,6; 1,0. Находящиеся с противоположной стороны эллипса одноименные шлицы имеют те же координаты x и равные по аб-

согласному значению, но противоположные по знаку координаты y . Углы $\varphi_{\text{вх}}$ соответственно равны 135 и 315° ; 90 и 270° ; 45 и 225° ; 0 и 180° . Неработающие шлизы заглушали спрофилированными по контуру эллипса специальными вкладышами.

Относительная площадь входа $\bar{f}_{\text{вх}} = f_{\text{вх}}/S = 4,84 \cdot 10^{-2}$ ($f_{\text{вх}}$ — суммарная площадь входных каналов-шлиев; S — площадь поперечного сечения эллипса).

Газ из камеры выводили через плоский пережим с круглым выходным отверстием, соосным рабочему объему камеры. Диаметр выходного отверстия $d_{\text{вых}} = 124$ мм.

Скорости и давления измеряли трехканальным цилиндрическим (диаметр насадка 2,6 мм) и пятиканальным шаровым (диаметр шарика 5 мм) зондами по обычной методике. Зонды перемещали с помощью координатников. Точность определения угла вектора полной скорости по отношению к горизонтали составила $0,5^\circ$, перемещения зонда в радиальном направлении — 0,025 мм. Замеры в объеме камеры производили по установленному направлению через 5 мм. Относительные погрешности определения скоростей и давлений потока в основном диапазоне их значений и средних температур, с учетом относительных ошибок в определении тарировочных коэффициентов зондов, не превышали для цилиндрического и шарового зондов соответственно $\pm 4,6$ и $\pm 6,0\%$.

Сечения, в которых измеряли скорости и давления, имели безразмерные осевые координаты $\bar{z}_{c,z}$, равные $0,96$; $0,665$; $0,28$; $0,06$. Во всех сечениях скорости и давления снимали по малой и большой осям эллипса, а в двух из них еще дополнительно по промежуточным направлениям, проходящим через его центр и характеризуемым углами $\varphi_{c,z}$, равными 45 , 135 , 225 , 215° (рис. 1).

Статическое давление в камере замеряли в 70 точках на ее дне и в 16 точках по высоте и периметру на боковой поверхности рабочего объема и в шлицах. Диаметр дренажных отверстий 0,5 мм.

Расход воздуха на установку контролировали нормальной диафрагмой, температуру — ртутным термометром ТЛ-4 с ценой деления $0,1^\circ\text{C}$.

Для визуализации течения часть опытов производили в эллиптической камере, выполненной из оргстекла. В этом случае в качестве рабочего тела использовали воду. Камера имела следующие характеристики: $a = 73$ мм; $b = 55$ мм; $k = 0,75$; $L_k = 353$ мм; $\bar{f}_{\text{вх}} = 5 \cdot 10^{-2}$; $\bar{h}_{\text{вх}} = 12$ мм; $d_{\text{вых}} = 12,5$; $25,0$; $87,5$; $50,0$; $62,5$; $75,0$; $100,0$ мм или $\bar{d}_{\text{вых}} = 0,1$; $0,2$; $0,3$; $0,4$; $0,5$; $0,6$; $0,8$.

Кроме того для визуализации течения у боковой и торцевой поверхностей камеры применяли спиртовые чернила, которые вводили в воздушный поток в виде мельчайших капелек.

На рис. 2 показаны схемы движения потока в камере, полученные на основе опытных данных, а также распределения безразмерной аксиальной составляющей скорости $w_z = w_z/v_{\text{вх}}$ ($v_{\text{вх}} = V/\bar{f}_{\text{вх}}$ — условная средняя скорость потока в шлицах; V — объемный расход газа через камеру) в продольных сечениях камеры, проходящих через ее ось, большую и малую оси эллипса. В нижней части рис. 2 даны схемы движения потока в проекции на поперечную плоскость с $\bar{z}_{c,z} = 0,665$ и распределения безразмерной тангенциальной составляющей скорости $w_\varphi = w_\varphi/v_{\text{вх}}$. Представленные данные относятся к двум предельным вариантам подвода газа в рабочий объем, когда шлизы перпендикулярны малой и большой осям эллипса.

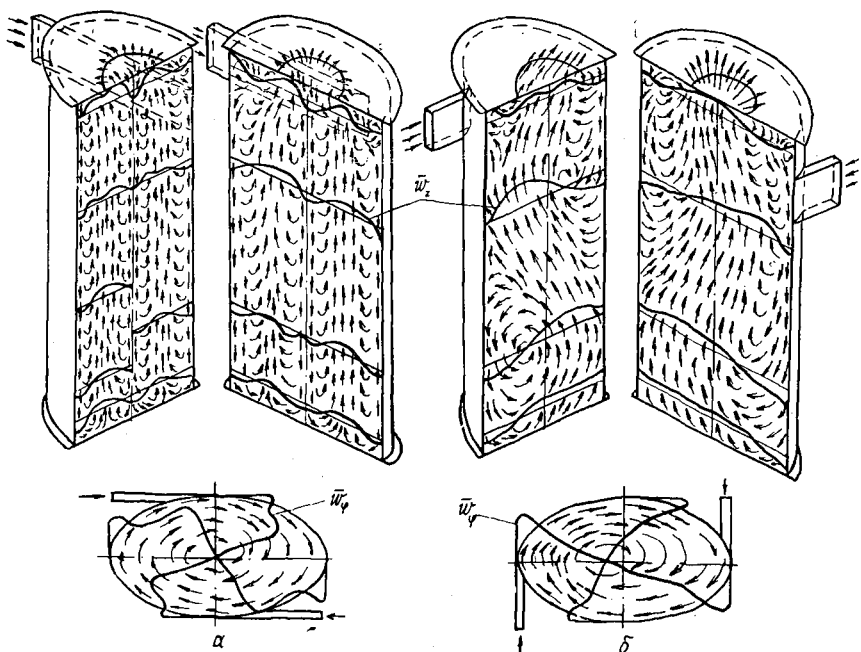


Рис. 2. Схема движения потоков и распределения аксиальной и тангенциальной компонент полной скорости потока в циклонной эллипсной камере с подводом газа в рабочий объем по вариантам 2 (а) и 4 (б)

Как видно из рис. 2, течение газа в эллипсной циклонной камере отмечается большой сложностью. Для обоих вариантов подвода газа в общем случае ось вращения потока не совпадает с осью камеры. Однако, если при подводе газа перпендикулярно малой оси, с технической точки зрения, можно считать это отклонение пренебрежимо малым и саму ось вращения прямолинейной, то при подводе газа перпендикулярно большой оси (оси сжатия) этим смещением пренебречь нельзя, так как оно весьма существенно. Ось вращения в этом случае является сложной пространственной кривой.

В варианте подвода, показанном на рис. 2, а, практически осесимметричны распределения осевых скоростей. При существенном смещении входных шлицев к выходному торцу камеры в ее рабочем объеме наблюдаются прямой и обратный периферийные, осевой обратный и кольцевой выходной вихри. Схема осевых перемещений потока носит характер, типичный для круглых циклонных камер при соответствующем вводе газа.

В варианте подвода, изображенном на рис. 2, б, общая картина течения значительно сложнее. Распределения w_z несимметричны относительно оси вращения и оси камеры. Снижение интенсивности вращения потока привело к практически полной ликвидации роли приторцевых потоков. В рабочем объеме камеры наблюдались зоны замкнутых циркуляционных течений, заполняющих его части, не занятые сложным пространственным выходным и опускным вихрями.

Истечение газов из выходного отверстия происходит с одной стороны.

Следует заметить, что в эллиптической циклонной камере, как и в круглой цилиндрической, \bar{w}_z значительно меньше \bar{w}_ϕ . Исключение составляет лишь зона стока в выходном отверстии, где они становятся соизмеримыми.

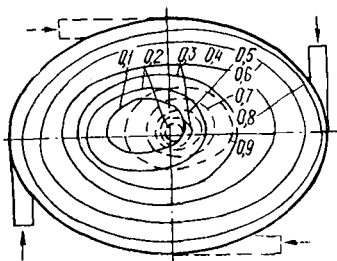


Рис. 3. Изотахи в поперечном сечении эллипсной камеры при различных значениях v и двух вариантах ввода газа в камеру: пунктирная линия — вариант 2; сплошная — вариант 4

При подводе газа перпендикулярно малой оси эллипса распределения тангенциальной скорости потока имеют вид, характерный для циклонных камер с торцевым выводом газов. В периферийной зоне течения значения w_ϕ по малой оси эллипса выше, чем по большой. Максимальное значение w_ϕ на малой оси наблюдается при $\bar{y} = x/b = 0,4$, на большой — при $\bar{x} = x/a = 0,44$. Минимальные значения w_ϕ имеют место соответственно при $\bar{y} = 0,768$ и $\bar{x} = 0,794$.

Качественный характер распределения безразмерных статическихко-го $\bar{p}_c = 2p_c/\rho_{\text{вх}}v_{\text{вх}}^2$ ($\rho_{\text{вх}}$ — плотность потока в шлицах) и полного $\bar{p}_n = 2p_n/\rho_{\text{вх}}v_{\text{вх}}^2$ давлений аналогичен по обеим осям. В периферийной (пристенной) зоне течения \bar{p}_n сравнительно слабо изменяется по периметру.

Величины \bar{p}_c различаются более существенно. Разность их в приственном слое в вершинах эллипса составляет 0,37...0,43.

При подводе газа в вершинах эллипса перпендикулярно его большой оси распределения w_ϕ не имеют «квазипотенциальной» зоны. В области малой оси уровень w_ϕ также несколько выше, чем в области большой. Однако эти расхождения меньше, чем в предыдущем случае. На оси эллипса тангенциальная составляющая скорости в обоих сечениях не равна нулю, хотя и имеет сравнительно небольшое значение. Значительно ниже в рассматриваемом варианте подвода газа и общий уровень полной и тангенциальной составляющей скорости.

Интересно отметить, что в обоих случаях статическое давление на оси эллипса, в отличие от w_ϕ , равно нулю.

Смещение оси вращения потока с оси эллипса подтверждается также изотахами (рис. 3), построенными по полученным в опытах распределениям полной скорости потока v (или $\bar{v} = v/v_{\text{вх}}$), и изобарами на поверхности глухого торца рабочего объема камеры (рис. 4).

Представленное на рис. 4 распределение безразмерного избыточного статического давления на торцевой поверхности рабочего объема $p_{c,t} = 2p_{c,t}/\rho_{\text{вх}}v_{\text{вх}}$ при двух предельных вариантах подвода газа полностью подтверждает отмеченные особенности изменения полной скорости и ее компонент. По мере смещения к оси вращения поток все больше приближается к осесимметричному.

Следует отметить, что в рассматриваемой эллипсной камере при всех вариантах подвода газа наблюдается неравномерность раздачи воздуха по шлицам. Если ее характеризовать соотношением избыточного статического давления в шлицах верхней части поперечного сечения камеры (см. рис. 1) и нижней, то можно отметить, что в вариантах подвода 1...4 оно равняется 1,2; 0,93; 0,95; 2,23. Наибольшая неравномерность распределения газа по шлицам выявлена в варианте подвода в вершинах эллипса на его большей оси. (Именно в этом слу-

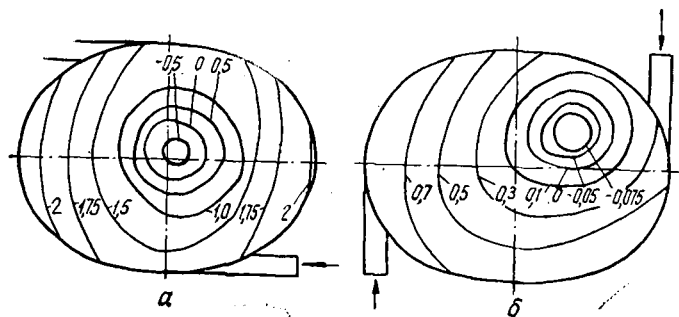


Рис. 4. Изобары на поверхности глухого торца эллипсной камеры с подводом газа в рабочий объем по вариантам 2 (а) и 4 (б) при различных значениях $p_{c.t}$.

чае выходящая из шлицев струя атакует боковую поверхность камеры, имеющую в поперечном сечении наименьший радиус кривизны.) Неравномерность распределения газа по шлицам приводит к асимметрии загрузки объема камеры.

При подводе газа перпендикулярно малой оси распределение безразмерного избыточного статического давления на боковой поверхности рабочего объема камеры $\bar{p}_{c.k} = 2p_{c.k}/\rho_{ex}v_{ex}$ (рис. 5) сравнительно слабо изменяется по его длине (в пределах 5...7%). В общем зависимость $\bar{p}_{c.k}(\varphi)$ имеет вид деформированного эллипса со значениями $\bar{p}_{c.k}$, близкими по величине в противоположных вершинах. Деформированность кривых $\bar{p}_{c.k}(\varphi)$ связана как с влиянием вводимых в камеру струй газа (атакующее воздействие на стенку и эжекционный эффект), так и с небольшим, но все-таки имеющим место смещением оси вращения потока и изменением уровня w_φ в пристенной зоне по периметру камеры. Так, максимальные значения $\bar{p}_{c.k}$ наблюдали при углах φ (см. рис. 1), равных примерно 0...5° и 180...187°, т. е. вблизи вершин эллипса на его большой оси. Наибольшие значения $\bar{p}_{c.k}$ равны примерно 2,20...2,26 и 2,16...2,35 соответственно. Минимальные значения в этих диапазонах относятся к нижним (ближайшим к глухому торцу) поперечным сечениям рабочего объема. Минимальные $\bar{p}_{c.k}$ имели место при φ примерно 90 и 270°, т. е. в вершинах на малой оси. Минимальные значения $\bar{p}_{c.k}$ равны соответственно 1,68...1,78 и 1,75...1,90.

Совершенно другой характер зависимости $\bar{p}_{c.k}(\varphi)$ имел место в камере с вводом газа перпендикулярно большой оси. В данном случае распределение $\bar{p}_{c.k}(\varphi)$ существенно зависит не только от φ , но и от z .

Полученные данные подтверждают ранее сделанный вывод о пространственном изменении (по длине и углу) оси вращения потока в эллипсной камере с рассматриваемым вводом газа. Распределения $\bar{p}_{c.k}(\varphi, z)$ полностью отражают и сложную структуру циклонного потока. Максимальные значения $\bar{p}_{c.k}$ наблюдаются при φ примерно 0,0...22,5° и 152...180° и равны соответственно 0,43...0,93 и 0,63...1,05, минимальные — при углах 45...96° и 225...270° и равны соответственно 0,18...0,47 и 0,24...0,44. Распределения $\bar{p}_{c.k}(\varphi)$ не симметричны, сильно различаются в зависимости от продольной координаты. Положение максимумов и минимумов $\bar{p}_{c.k}$ существенно меняется

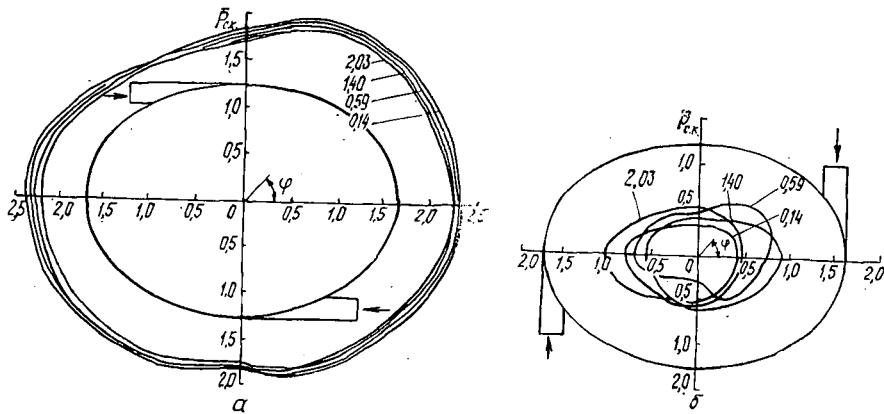


Рис. 5. Распределение избыточного давления на боковой поверхности рабочего объема эллипсной камеры с подводом газа в рабочий объем по вариантам 2 (а) и 4 (б) при различных значениях $z_{c.z}$

по длине камеры. В сечении, ближайшем к глухому торцу, вообще отсутствует второй минимум $\bar{P}_{c.k}$, что, вероятно, является следствием значительного смещения оси вращающегося потока с осью рабочего объема.

Варианты подвода 1 и 3 по положению их на образующей камеры являются промежуточными по отношению к рассмотренным предельным 2 и 4. В вариантах 4 и 1 вводимая в рабочий объем струя газа распространяется у стенки в направлении роста радиуса ее кривизны, а в вариантах 2 и 3 — уменьшения. Различаются варианты и величиной радиуса кривизны входной кромки боковой поверхности камеры, а также величиной входного момента.

Анализ полученных данных показал, что по аэродинамике камеры и ее сопротивлению варианты 1, 4 и 2, 3 попарно близки между собой. Так, коэффициент сопротивления циклонной камеры по входным условиям $\xi_{bx} = 2\Delta P_n / \rho_{bx} v_{bx}^2$ (ΔP_n — перепад полного давления в камере) для вариантов ввода 1...4 составляет соответственно 2,05; 2,72; 2,36; 2,10. Его входная составляющая $\xi_{bx,k} = 2\Delta P_{n,bx} / \rho_{bx} v_{bx}^2$ ($\Delta P_{n,bx}$ — разность средних полных давлений во входном сечении и шлифах) в процентах от ξ_{bx} для рассмотренных вариантов равна соответственно 69,0; 28,7; 15,7; 69,0. Выходная составляющая $\xi_{bx,h} = 2\Delta P_{n,vyk} / \rho_{bx} v_{bx}^2$ ($\Delta P_{n,vyk}$ — разность средних полных давлений в сечении перед выходным отверстием и за камерой) также в процентах от ξ_{bx} равна соответственно 37; 77; 83; 41. При упорядоченном течении (варианты 2, 3), как и в обычных циклонных круглых камерах, выходная составляющая ξ_{bx} является наибольшей. Интересно заметить, что в варианте подвода 2 площадь выхода потока из камеры примерно в два раза больше, чем в варианте 4. Величина входных потерь определяется возможностями расширения струи на входе в камеру и величиной статического давления в этой зоне.

Полученные в работе данные позволили предположить, что местоположение наиболее целесообразного ввода газов в эллипсную циклонную камеру в определенной степени может зависеть от ее относительной длины, коэффициента сжатия эллипса, а также от суммарной относительной площади входа потока, высоты шлифов, их числа и расположенности по периметру камеры.